

大気圧プラズマのモデリング

酸素ガス添加に伴う
容量結合型RF大気圧ヘリウム
プラズマ特性への影響

小田 昭紀
(千葉工業大学)



はじめに

大気圧グロー放電 (APGDs)

- ◆大気圧下で空間均一に生成・維持される低温プラズマ
- ◆放電ガスとしてHeがよく用いられる
→ 大気圧下で空間均一な放電を安定に生成可能
- 【利点】 ◆高価な真空装置が不要
 - ◆装置が受ける制約が少なく、大面積化が容易
 - ◆高いプラズマ密度・反応レートが得られる
- ◆近年、高周波（10 MHz～）駆動によるAPGDsに特に期待が寄せられている



大気圧・高周波放電プラズマ

本研究の目的

- ◆工学的に応用する際には、本放電プラズマ特性の把握が重要
- ◆これまで本放電プラズマ特性に関して研究が進められているが、十分に解明されてはいない



**空間1次元流体シミュレーションによる
Heガス大気圧・高周波放電プラズマ特性の解析**

本講演内容

◆ 大気圧プラズマのモデリング

- ・ モデル, 支配方程式
- ・ 原子分子基礎データ
(電子衝突断面積, 電子・イオン輸送係数)

◆ 容量性結合型RF大気圧ヘリウムプラズマの基礎特性

- ・ 電圧-電流波形
- ・ 荷電粒子, 励起原子数密度などの時間空間分布

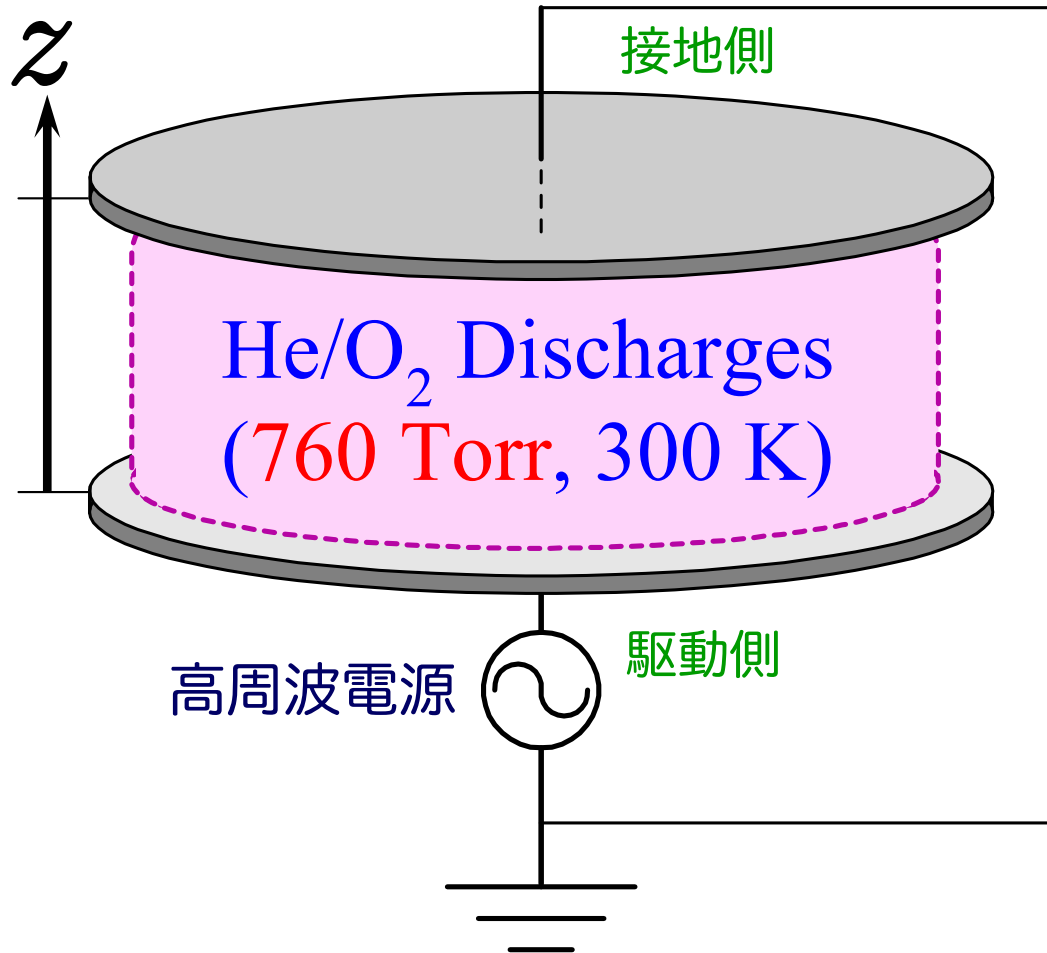
◆ ヘリウムプラズマ特性へ及ぼす酸素 (O_2) 添加の影響

- ・ 電圧-電流波形
- ・ 荷電粒子数密度の空間分布
- ・ 電子エネルギーバランス など



モデル図・計算条件

放電モデル図



- ◆ギャップ間距離 : 2.4 mm,
- ◆二次電子放出係数 : 0.1
- ◆電極面積 : 1.0 cm²
- ◆全ガス圧力 : 1 atm (760 Torr)
- ◆ガス温度 : 300 K
- ◆O₂混入率 : 0.0% (He(100%)),
0.1%, 0.2%, 0.5%,
1.0%, 2.0%, 5.0%
- ◆放電空間内の粒子
 - 荷電粒子種 e⁻, He⁺, He₂⁺
O⁺, O₂⁺, O⁻, O₂⁻, O₃⁻
 - 中性粒子種 He(²³S), He(²¹S), He, O₂
- ◆印加電圧 : 470 V ~ 1640 V
- ◆駆動周波数 : 13.56 MHz



支配方程式

◆ 数密度連続の式

$$\frac{\partial n_j(z, t)}{\partial t} + \frac{\partial \Gamma_j(z, t)}{\partial z} = +G_j(z, t) - L_j(z, t)$$

$$\Gamma_j(z, t) = W_j(z, t)n_j(z, t) - D_j(z, t)\frac{\partial n_j(z, t)}{\partial z}$$

◆ 電子エネルギー保存式

$$\frac{\partial \left(\frac{3}{2}n_e T_e\right)(z, t)}{\partial t} = -\frac{\partial q_e(z, t)}{\partial z} - \Gamma_e(z, t) eE(z, t)$$

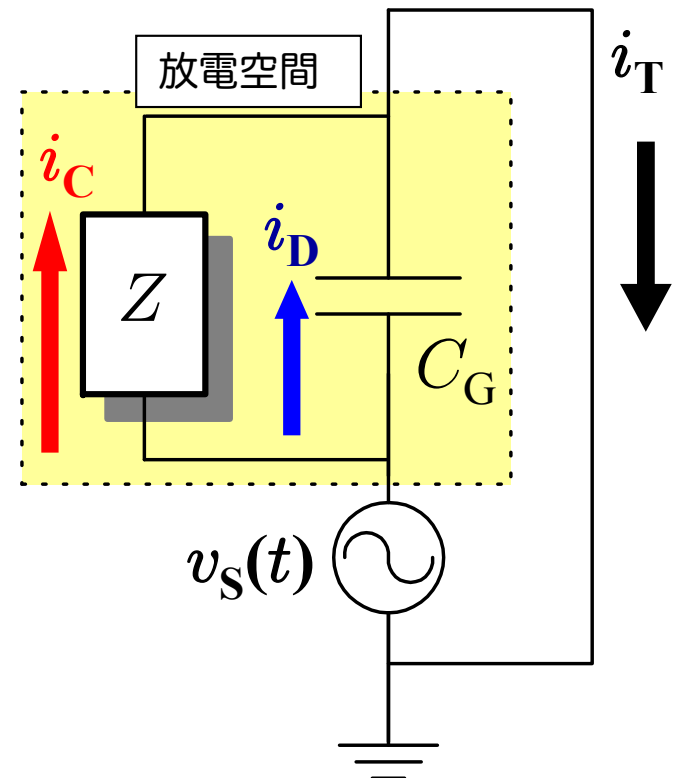
$$\begin{aligned} \bar{\epsilon}_e(z, t) &= \frac{3}{2}T_e(z, t) - \sum k_j(z, t)Nn_e(z, t)H_j \\ q_e &= \frac{5}{2}W_e(z, t)(n_e T_e)(z, t) - \frac{5}{2}D_e(z, t)\frac{\partial(n_e T_e)(z, t)}{\partial z} \end{aligned}$$

◆ ポアソンの式

$$\frac{\partial^2 \phi(z, t)}{\partial z^2} = -\frac{e}{\varepsilon_0}(n_{+, \text{total}}(z, t) - n_{-, \text{total}}(z, t))$$

$$E(z, t) = -\frac{\partial \phi(z, t)}{\partial z}$$

◆ 回路方程式 (等価回路)



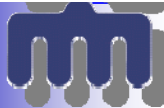
$$\begin{aligned} i(t) &= i_C(t) + i_D(t) \\ i_C(t) &= \frac{e}{d_G} \int_0^{d_G} i_C(z, t) dz \\ i_D(t) &= C_G \frac{dv_S(t)}{dt} \end{aligned}$$



放電空間 (He/O_2) 内で起こる衝突反応

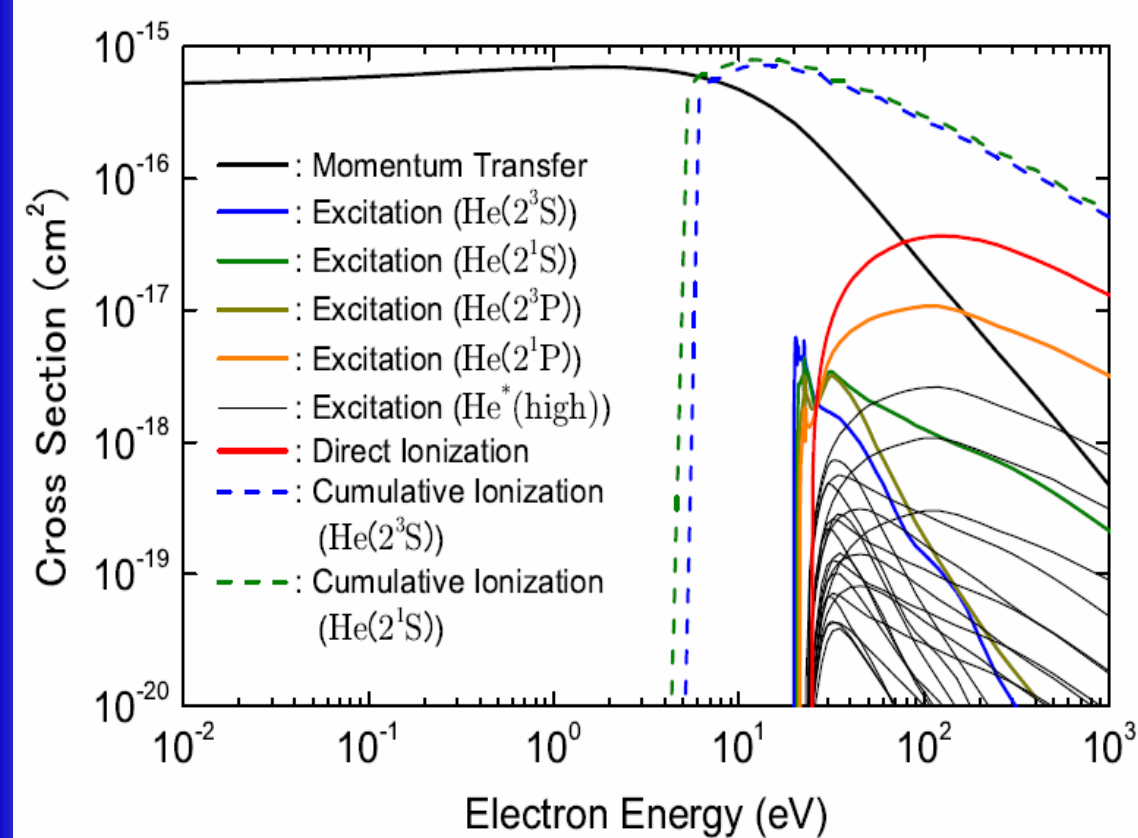
No.	Reaction Process	Rate coefficient ($\text{cm}^3 \text{s}^{-1}/\text{cm}^6 \text{s}^{-1}$)	Energy Loss (eV)
00	$\text{He} + \text{e}^- \rightarrow \text{He} + \text{e}^-$ (momentum)	$f(T_e)$	
01	$\text{He} + \text{e}^- \rightarrow \text{He}(2^3\text{S}) + \text{e}^-$	$f(T_e)$	19.820
02	$\text{He} + \text{e}^- \rightarrow \text{He}(2^1\text{S}) + \text{e}^-$	$f(T_e)$	20.620
03	$\text{He} + \text{e}^- \rightarrow \text{He}^* + \text{e}^-$	$f(T_e)$	20.960
04	$\text{He} + \text{e}^- \rightarrow \text{He}^{**} + \text{e}^-$	$f(T_e)$	21.220
05	$\text{He} + \text{e}^- \rightarrow \text{He}^{***} + \text{e}^-$	$f(T_e)$	22.720
06	$\text{He} + \text{e}^- \rightarrow \text{He}^+ + 2\text{e}^-$	$f(T_e)$	24.590
07	$\text{O}_2 + \text{e}^- \rightarrow \text{O}_2 + \text{e}^-$ (momentum)	$f(T_e)$	
08	$\text{O}_2 + \text{e}^- \rightarrow \text{O}_2^*$ (rot) + e^-	$f(T_e)$	0.020
09	$\text{O}_2 + \text{e}^- \rightarrow \text{O}_2^*(v=1) + \text{e}^-$	$f(T_e)$	0.190
10	$\text{O}_2 + \text{e}^- \rightarrow \text{O}_2^*(v=2) + \text{e}^-$	$f(T_e)$	0.380
11	$\text{O}_2 + \text{e}^- \rightarrow \text{O}_2^*(v=3) + \text{e}^-$	$f(T_e)$	0.570
12	$\text{O}_2 + \text{e}^- \rightarrow \text{O}_2^*(v=4) + \text{e}^-$	$f(T_e)$	0.750
13	$\text{O}_2 + \text{e}^- \rightarrow \text{O}_2^*(a^1\Delta_g) + \text{e}^-$	$f(T_e)$	0.977
14	$\text{O}_2 + \text{e}^- \rightarrow \text{O}_2^*(b^1\Sigma_g^+) + \text{e}^-$	$f(T_e)$	1.627
15	$\text{O}_2 + \text{e}^- \rightarrow \text{O}_2^{**} + \text{e}^-$	$f(T_e)$	4.500
16	$\text{O}_2 + \text{e}^- \rightarrow \text{O} + \text{O} + \text{e}^-$	$f(T_e)$	6.000
17	$\text{O}_2 + \text{e}^- \rightarrow \text{O} + \text{O}^* + \text{e}^-$	$f(T_e)$	8.400
18	$\text{O}_2 + \text{e}^- \rightarrow \text{O}^* + \text{O}^* + \text{e}^-$	$f(T_e)$	9.770
19	$\text{O}_2 + \text{e}^- \rightarrow \text{O}_2^+ + 2\text{e}^-$	$f(T_e)$	12.060
20	$\text{O}_2 + \text{e}^- \rightarrow \text{O}^+ + \text{O} + 2\text{e}^-$	$f(T_e)$	19.500
21	$\text{O}_2 + \text{O}_2 + \text{e}^- \rightarrow \text{O}_2^- + \text{O}_2$	$f(T_e)$	
22	$\text{O}_2 + \text{e}^- \rightarrow \text{O}^- + \text{O}$	$f(T_e)$	
23	$\text{He}(2^3\text{S}) + \text{e}^- \rightarrow \text{He}^+ + 2\text{e}^-$	$f(T_e)$	4.770
24	$\text{He}(2^1\text{S}) + \text{e}^- \rightarrow \text{He}^+ + 2\text{e}^-$	$f(T_e)$	3.970
25	$\text{He}^+ + 2\text{He} \rightarrow \text{He}_2^+ + \text{He}$	6.5×10^{-32}	
26	$\text{He}^+ + 2\text{e}^- \rightarrow \text{He}^* + \text{e}^-$	7.1×10^{-20}	
27	$\text{He}_2^+ + 2\text{e}^- \rightarrow 2\text{He} + \text{e}^-$	2.0×10^{-20}	
28	$\text{He}(2^1\text{S}) + \text{He} \rightarrow 2\text{He} + h\nu'$	6.0×10^{-15}	
29	$\text{He}(2^3\text{S}) + 2\text{He} \rightarrow \text{He}_2^* + \text{He}$	2.5×10^{-34}	
30	$\text{He}(2^3\text{S}) + \text{e}^- \rightarrow \text{He} + \text{e}^-$	2.9×10^{-9}	-19.820
31	$\text{He}(2^3\text{S}) + \text{He}(2^3\text{S}) \rightarrow \text{He}^+ + \text{e}^- + \text{He}$	2.9×10^{-9}	-15.050

No.	Reaction Process	Rate coefficient ($\text{cm}^3 \text{s}^{-1}/\text{cm}^6 \text{s}^{-1}$)	Energy Loss (eV)
32	$\text{O}^- + \text{e}^- \rightarrow \text{O} + 2\text{e}^-$	$2.0 \times 10^{-7} \exp(-5.5/T_e)$	
33	$\text{O}^- + \text{O}_2 \rightarrow \text{O}_3 + \text{e}^-$	5.0×10^{-15}	
34	$\text{O}^+ + \text{O}_2 \rightarrow \text{O} + \text{O}_2^+$	2.0×10^{-11}	
35	$\text{O}^- + \text{O}_2 + \text{O}_2 \rightarrow \text{O}_3^- + \text{O}_2$	1.1×10^{-30}	
36	$\text{O}_2^+ + \text{e}^- \rightarrow 2\text{O}$	$5.2 \times 10^{-9}/T_e$	
37	$\text{O}^- + \text{O}^+ \rightarrow 2\text{O}$	2.0×10^{-7}	
38	$\text{O}^- + \text{O}_2^+ \rightarrow \text{O} + \text{O}_2$	2.0×10^{-7}	
39	$\text{O}^- + \text{O}_2^+ \rightarrow 3\text{O}$	1.0×10^{-7}	※ T_e : 電子温度 (eV),
40	$\text{O}_2^- + \text{O}^+ \rightarrow \text{O} + \text{O}_2$	2.0×10^{-7}	※ O_2 の励起種・解離種 は考慮していない
41	$\text{O}_2^- + \text{O}_2^+ \rightarrow 2\text{O}_2$	2.0×10^{-7}	
42	$\text{O}_2^- + \text{O}_2^+ \rightarrow 2\text{O} + \text{O}_2$	1.0×10^{-7}	
43	$\text{O}_3^- + \text{O}^+ \rightarrow \text{O}_3 + \text{O}$	2.0×10^{-7}	
44	$\text{O}_3^- + \text{O}_2^+ \rightarrow \text{O}_3 + \text{O}_2$	2.0×10^{-7}	
45	$\text{O}_3^- + \text{O}_2^+ \rightarrow \text{O}_3 + 2\text{O}$	1.0×10^{-7}	
46	$\text{O}^+ + \text{e}^- + \text{O}_2 \rightarrow \text{O} + \text{O}_2$	1.0×10^{-26}	
47	$\text{O}_2^+ + \text{e}^- + \text{O}_2 \rightarrow 2\text{O}_2$	1.0×10^{-26}	
48	$\text{O}^- + \text{O}^+ + \text{O}_2 \rightarrow 2\text{O}_2$	2.0×10^{-25}	
49	$\text{O}^- + \text{O}_2^+ + \text{O}_2 \rightarrow \text{O} + 2\text{O}_2$	2.0×10^{-25}	
50	$\text{O}_2^- + \text{O}_2^+ + \text{O}_2 \rightarrow 3\text{O}_2$	2.0×10^{-25}	
51	$\text{He}^+ + \text{O}_2 \rightarrow \text{O}^+ + \text{O} + \text{He}$	1.067×10^{-9}	
52	$\text{He}^+ + \text{O}_2 \rightarrow \text{O}_2^+ + \text{He}$	3.3×10^{-11}	
53	$\text{He}_2^+ + \text{O}_2 \rightarrow \text{O}^+ + \text{O} + 2\text{He}$	5.0×10^{-10}	
54	$\text{He}_2^+ + \text{O}_2 \rightarrow \text{O}_2^+ + 2\text{He}$	5.0×10^{-10}	
55	$\text{He}(2^3\text{S}) + \text{O}_2 \rightarrow \text{O}_2^+ + \text{e}^- + \text{He}$	2.54×10^{-10}	-7.760 eV
56	$\text{He}(2^1\text{S}) + \text{O}_2 \rightarrow \text{O}_2^+ + \text{e}^- + \text{He}$	2.54×10^{-10}	-8.560 eV
57	$\text{He}^+ + \text{O}^- \rightarrow \text{He} + \text{O}$	2.0×10^{-7}	
58	$\text{He}^+ + \text{O}_2^- \rightarrow \text{He} + \text{O}_2$	2.0×10^{-7}	
59	$\text{He}^+ + \text{O}_3^- \rightarrow \text{He} + \text{O}_3$	2.0×10^{-7}	
60	$\text{He}_2^+ + \text{O}^- \rightarrow 2\text{He} + \text{O}$	2.0×10^{-7}	Estimated
61	$\text{He}_2^+ + \text{O}_2^- \rightarrow 2\text{He} + \text{O}_2$	2.0×10^{-7}	Estimated
62	$\text{He}_2^+ + \text{O}_3^- \rightarrow 2\text{He} + \text{O}_3$	2.0×10^{-7}	Estimated

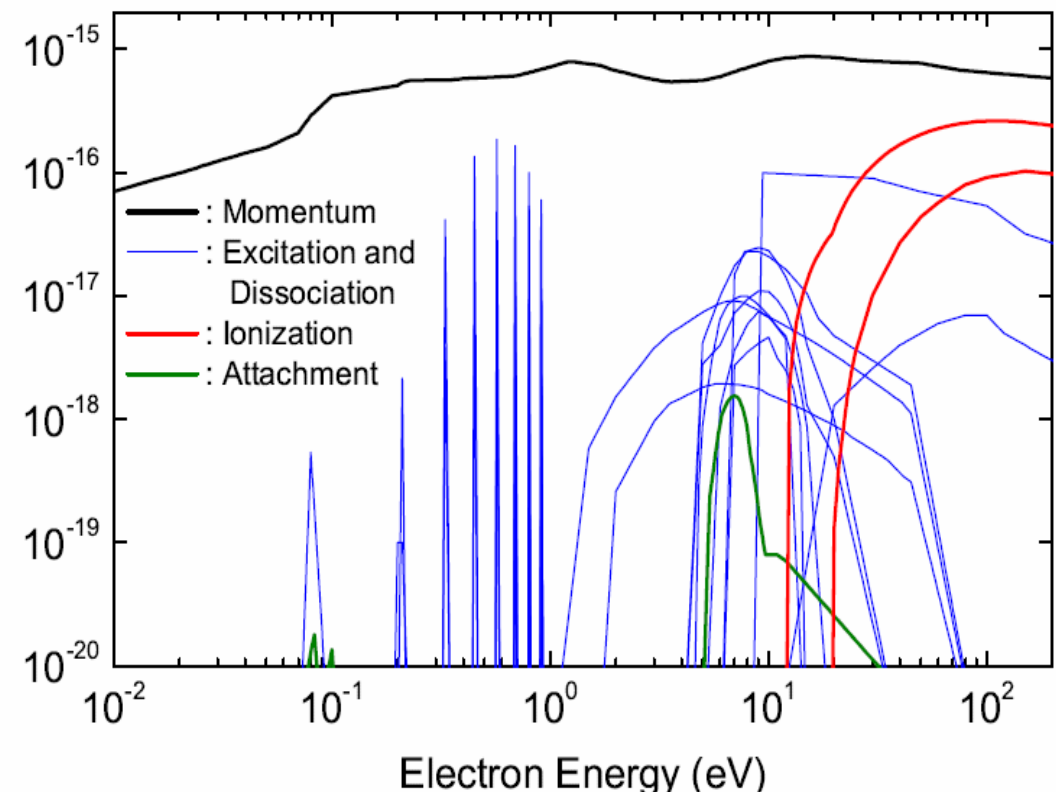


電子衝突断面積セット

◆ ヘリウム (He)

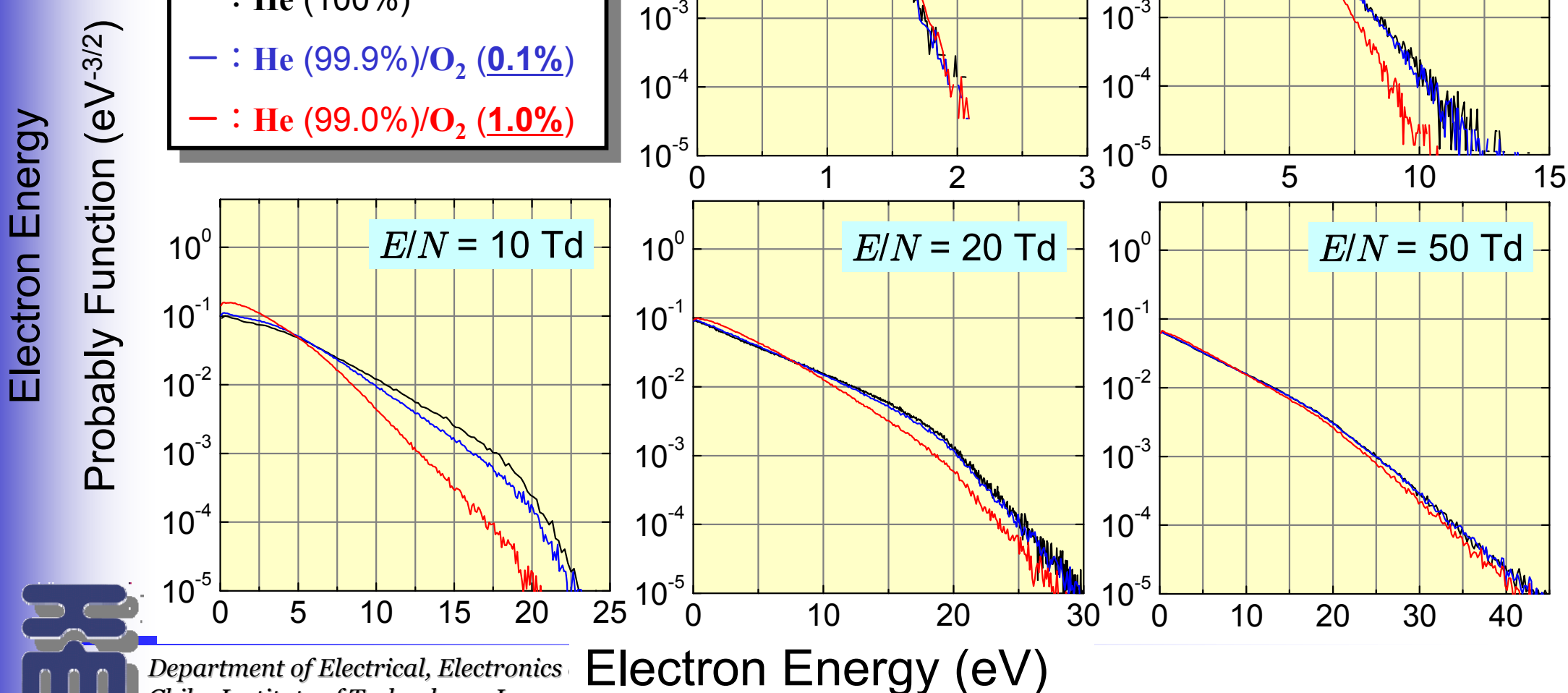


◆ 酸素 (O_2)



酸素ガス (O_2) 添加の影響 (MCSによるDC電界下のEEPF)

- ◆ He/ O_2 混合ガス中DC電界下
電子エネルギー分布関数 (EEPF)
⇒ MCSにより算出
- ◆ 計算条件
⇒ ガス温度：300 K, 圧力：1 Torr

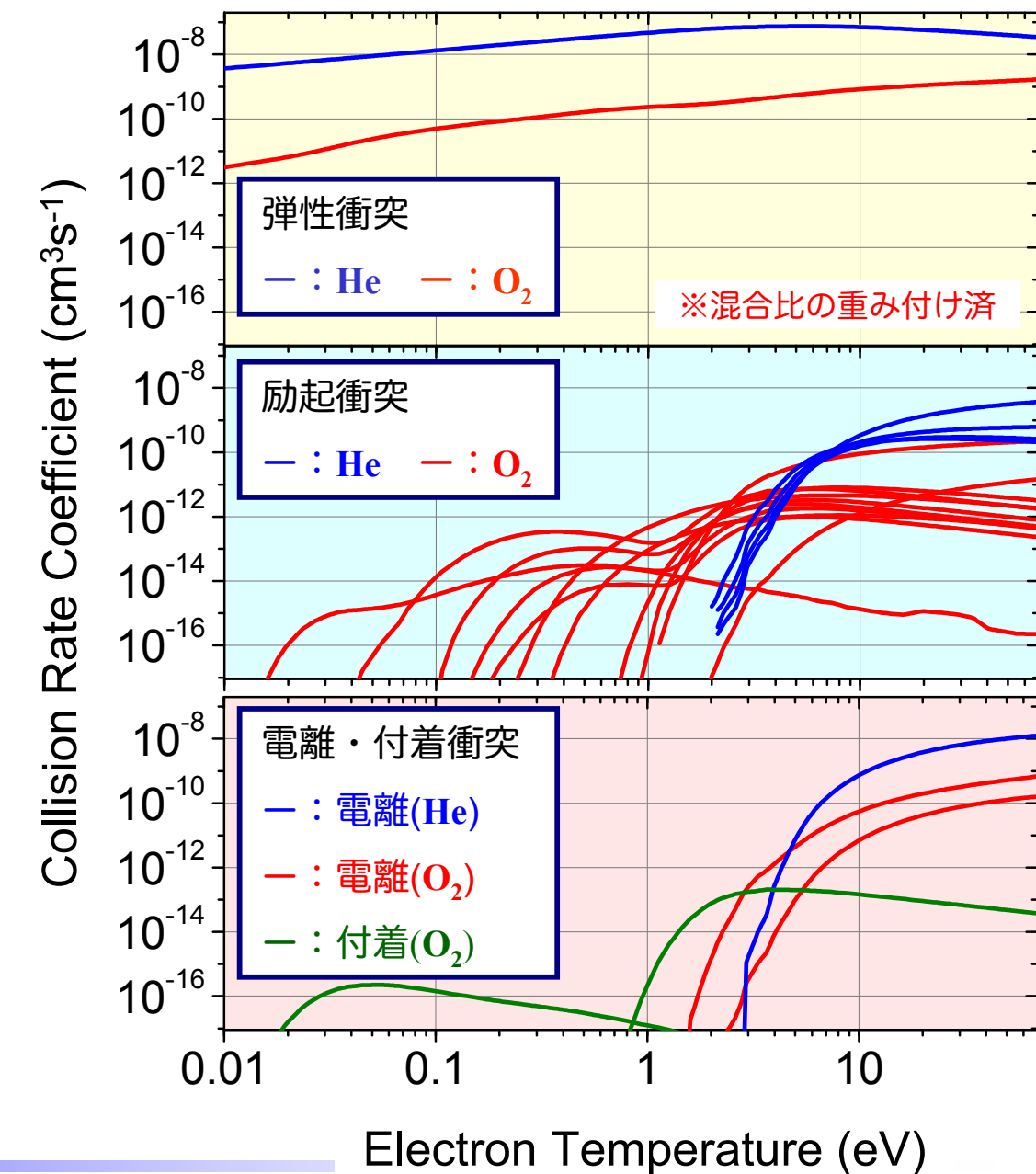
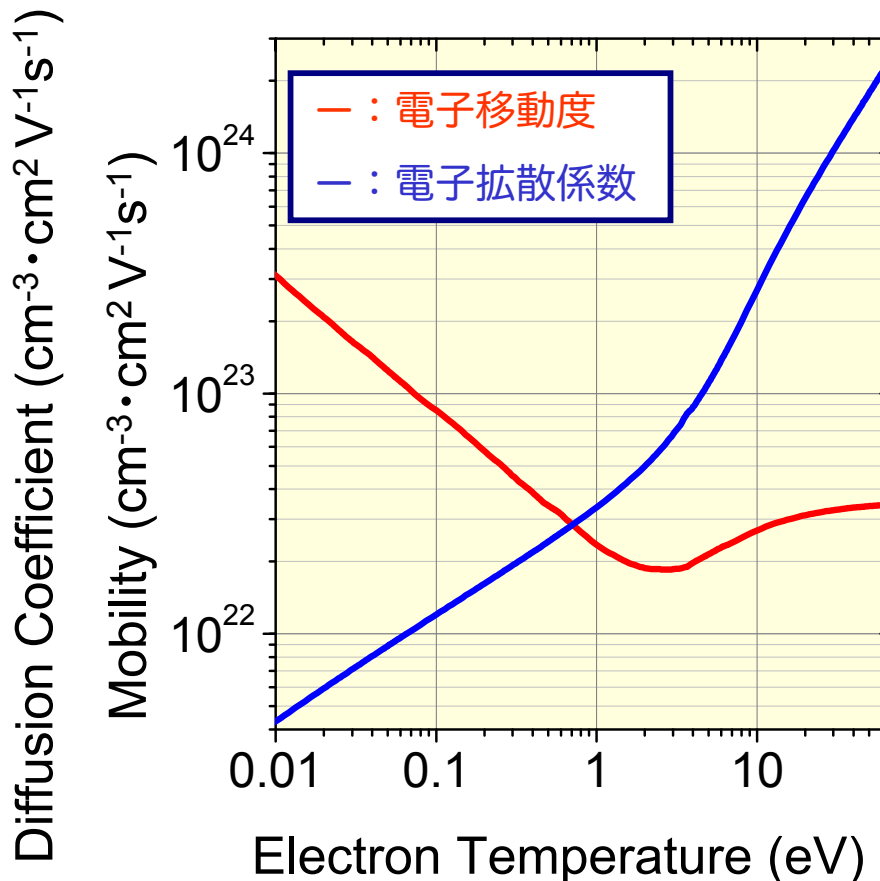


電子輸送係数 (衝突率係数・移動度・拡散係数)

He(99.5%) / O₂(0.5%) の例

モンテカルロシミュレーションにより算出

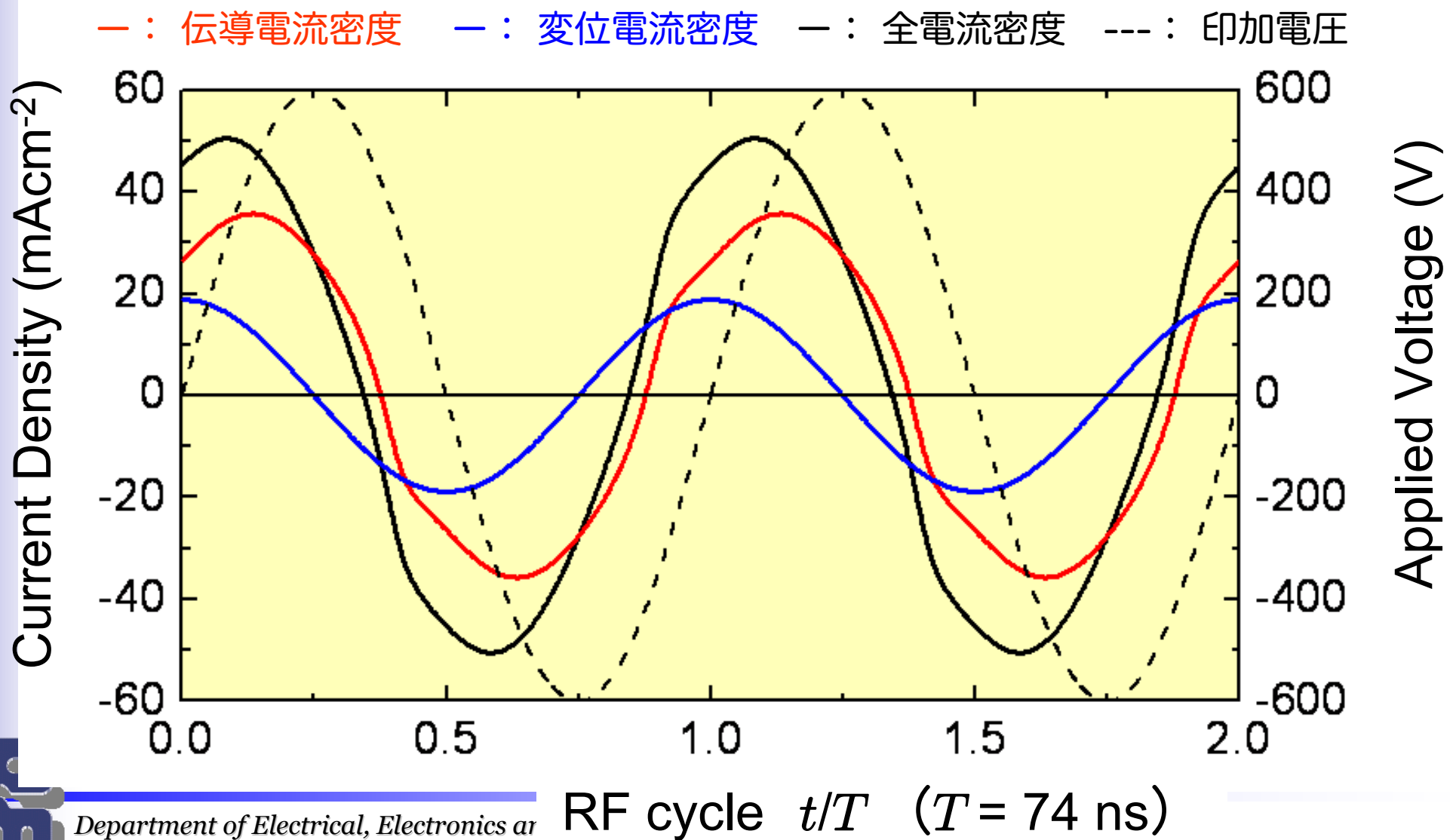
- 1 Torr, 300 KのHe/O₂混合ガス中
- 換算電界0.01 Td ~ 700 Td (一定電界)
- 輸送係数は電子温度の関数として扱う $\Rightarrow \bar{\epsilon}_e = \frac{3}{2} T_e$



電流電圧波形

He(100%)

●ギャップ長 d_G : 2.4 mm ●印加電圧 600 V ●投入電力 7.9 Wcm⁻² ●位相差 ϕ : 59.8°



時間・空間変化 (粒子密度・電界・電子温度)

He(100%)

●ギャップ長 d_G : 2.4 mm

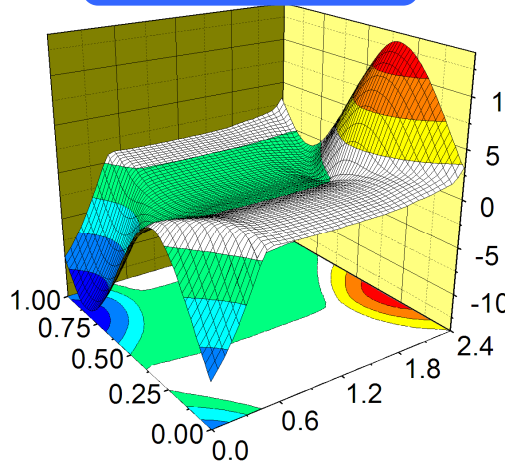
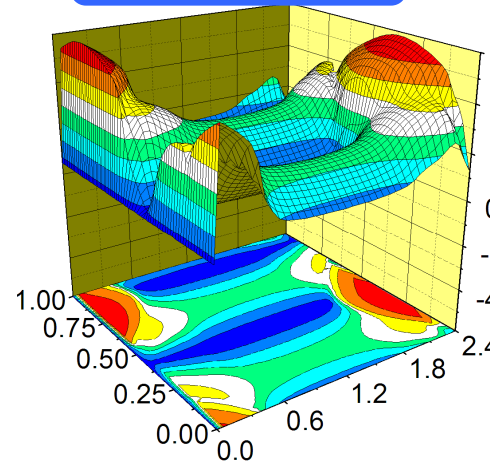
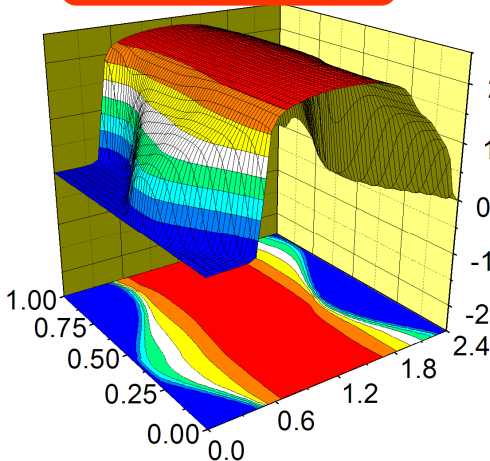
●印加電圧 v_0 : 600 V

●投入電力 P_{in} : 8.0 Wcm⁻²

電子 : $\times 10^{11}$

電子温度

電界



Density (cm⁻³)

Electric Field (kVcm⁻¹)

Electron Temperature (eV)

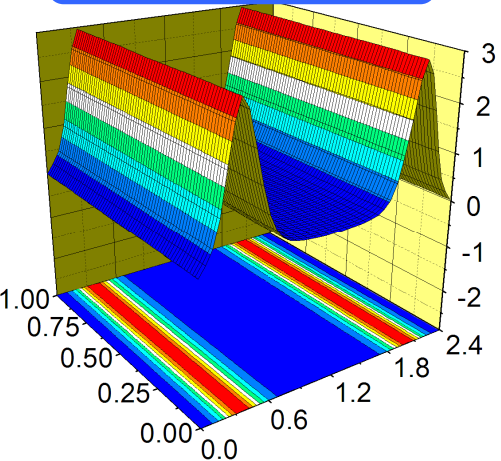
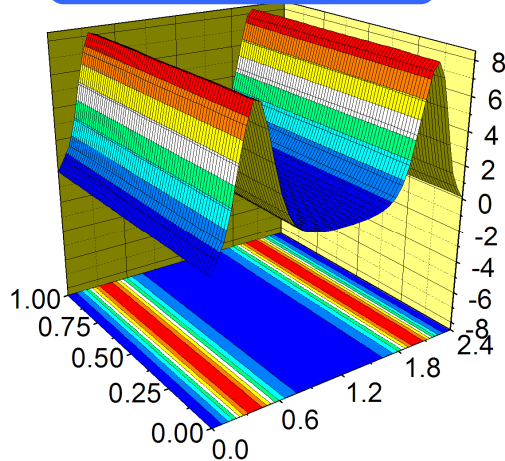
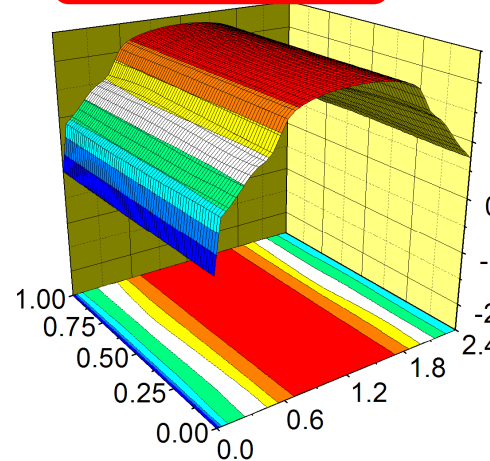
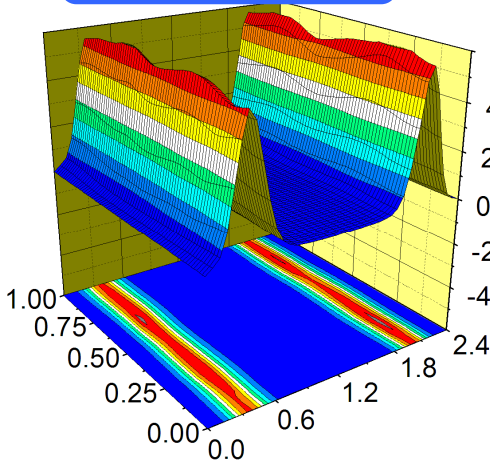
RF Cycle
Position (mm)

$\text{He}^+ : \times 10^9$

$\text{He}_2^+ : \times 10^{11}$

$\text{He}(2^3\text{S}) : \times 10^{12}$

$\text{He}(2^1\text{S}) : \times 10^{12}$



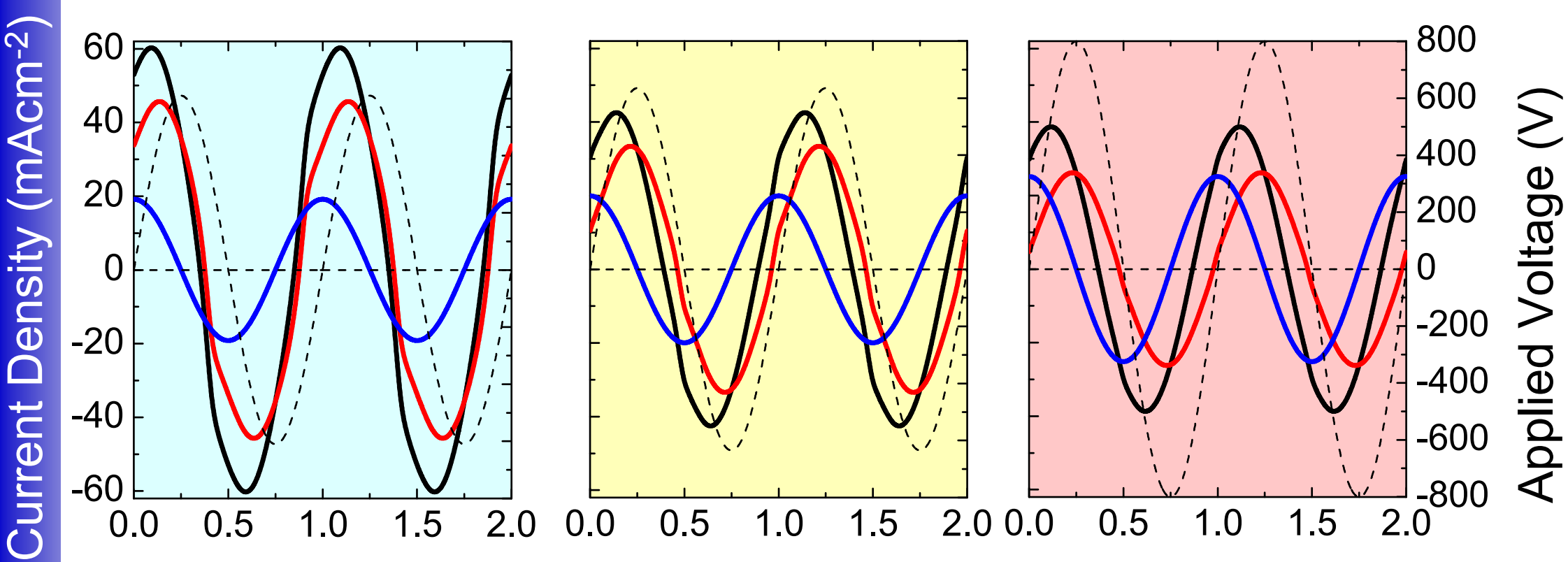
電流－電圧波形 (入力電力 11Wcm^{-2} 一定)

—：伝導電流密度 -：変位電流密度 -：全電流密度 ---：印加電圧

He(100%)
 ●印加電圧 610 V
 ●位相差 57.3°

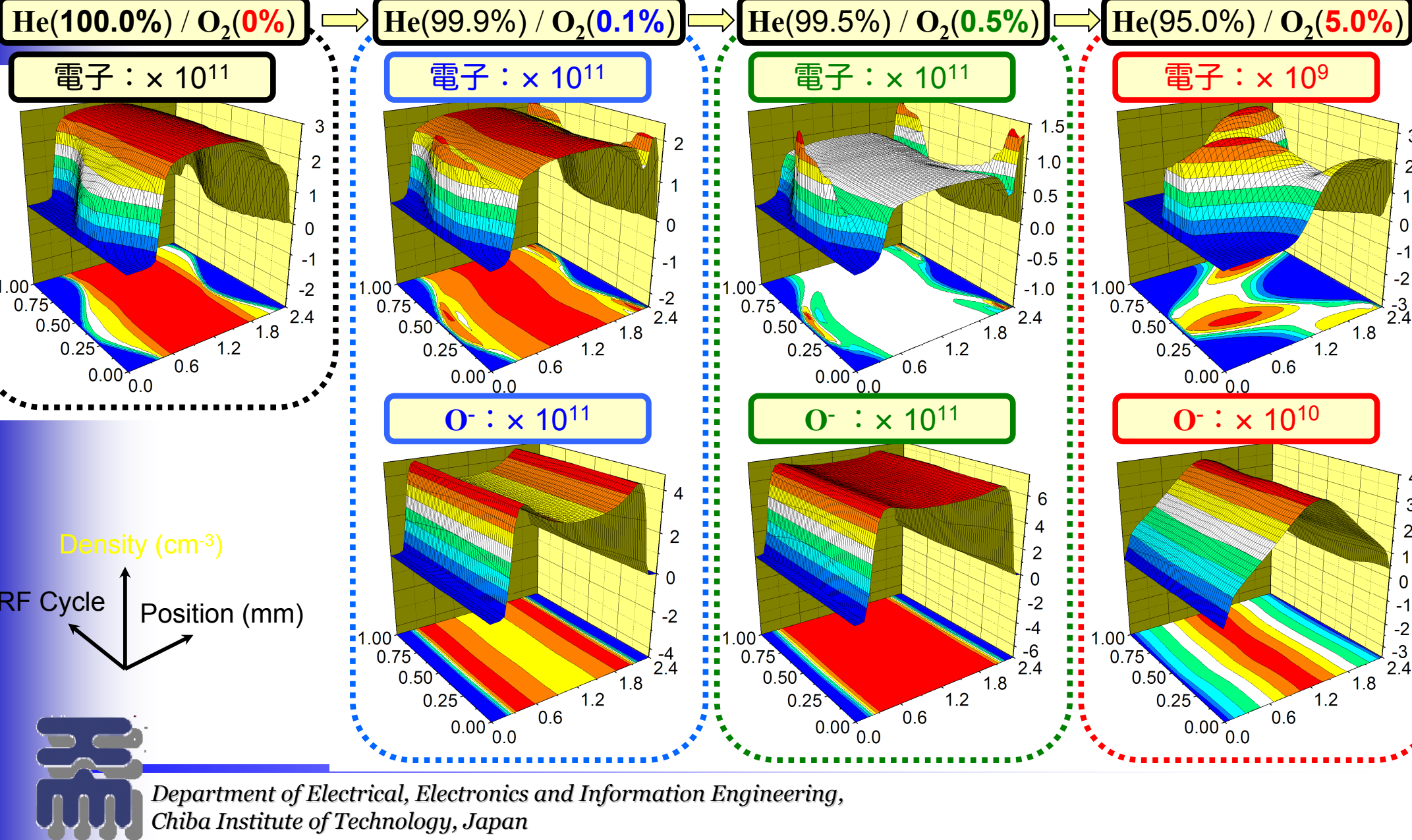
He(99.5%) / O₂(0.5%)
 ●印加電圧 635 V
 ●位相差 40.3°

He(99.0%) / O₂(1.0%)
 ●印加電圧 801 V
 ●位相差 48.7°



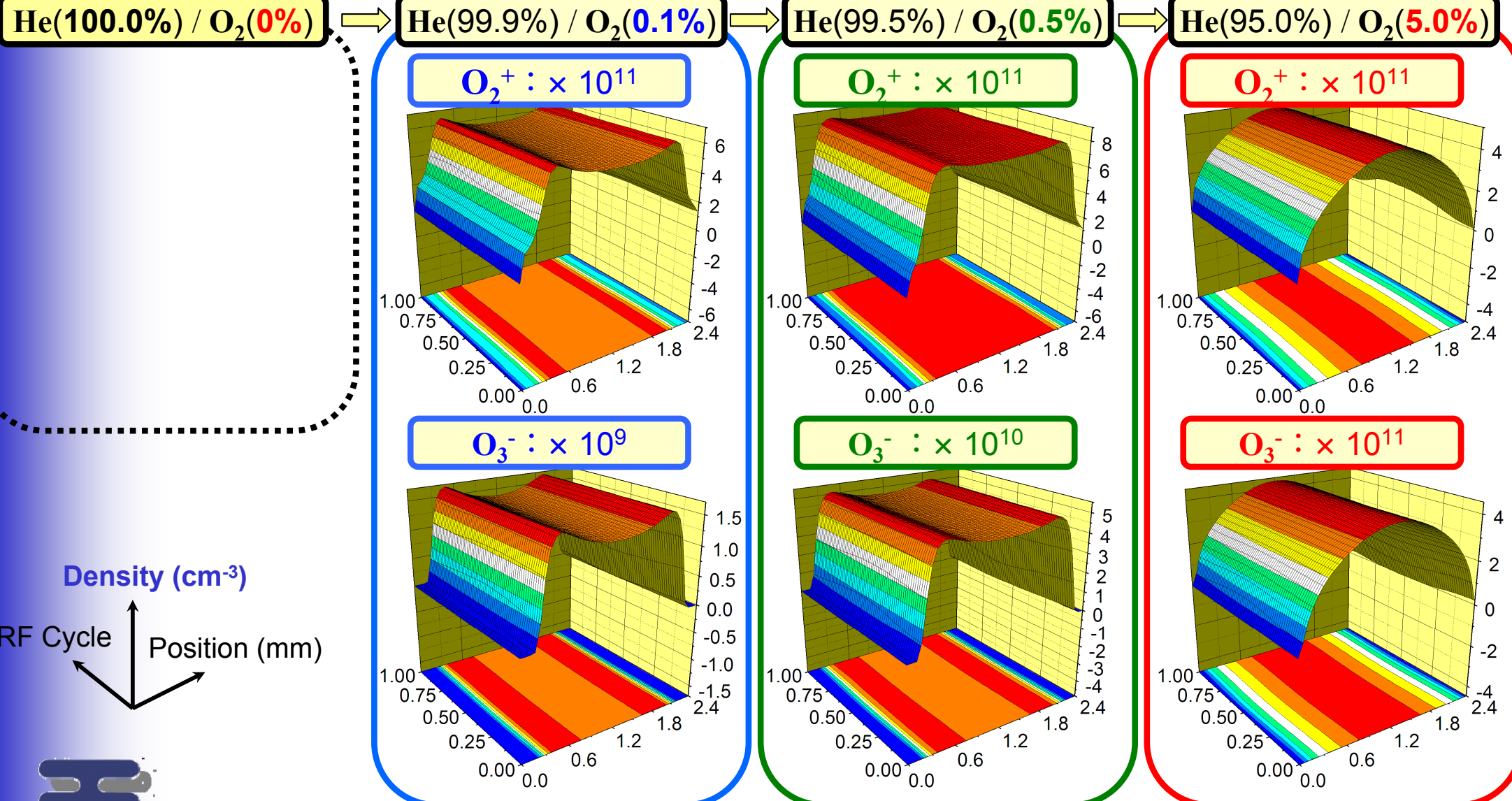
印加電圧 1 周期間の時間空間分布 (入力電力 11Wcm^{-2} 一定)

電子, O^- 密度の時間・空間変化 (O_2 混入率依存性)



印加電圧 1 周期間の時間空間分布 (入力電力 11Wcm^{-2} 一定)

He_2^+ , O_3^- 密度の時間・空間変化 (O_2 混入率依存性)

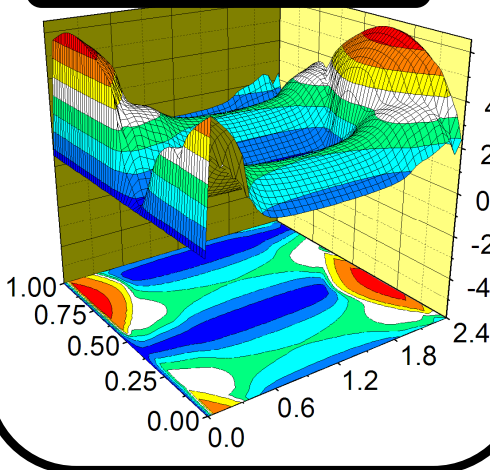


印加電圧 1 周期間の時間空間分布 (入力電力 11Wcm^{-2} 一定)

電子温度, O_2^+ 密度の時間・空間変化 (O_2 混入率依存性)

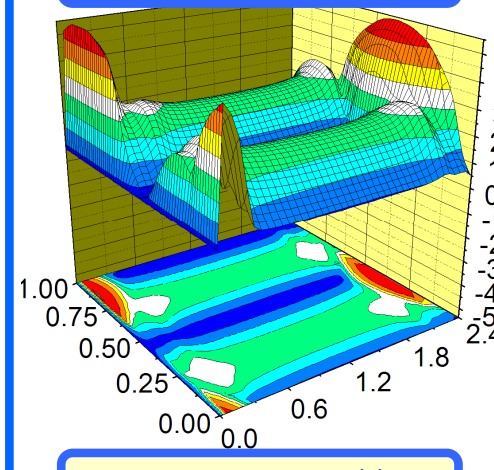
He(100.0%)

電子温度



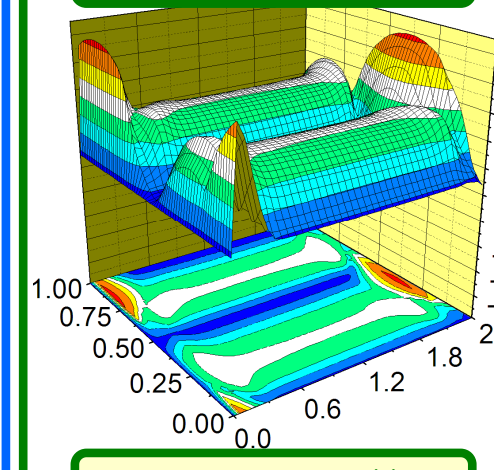
He(99.9%) / O_2 (0.1%)

電子温度



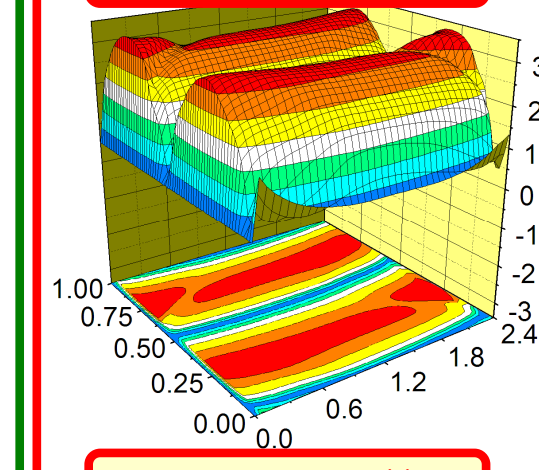
He(99.5%) / O_2 (0.5%)

電子温度



He(95.0%) / O_2 (5.0%)

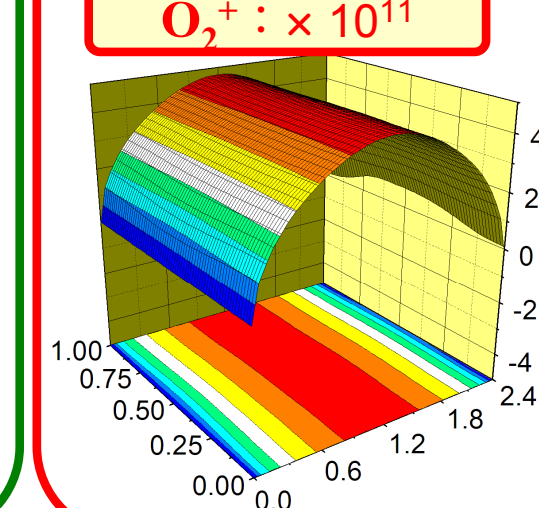
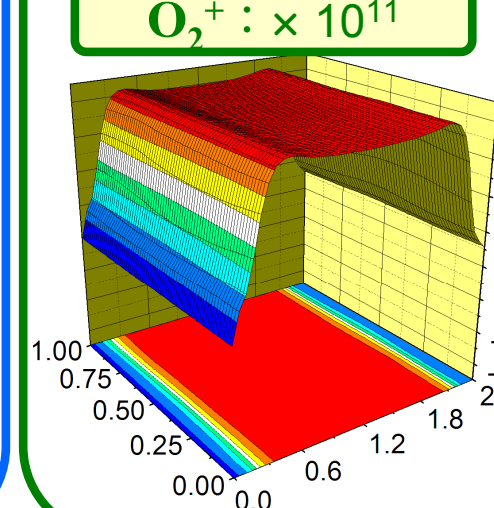
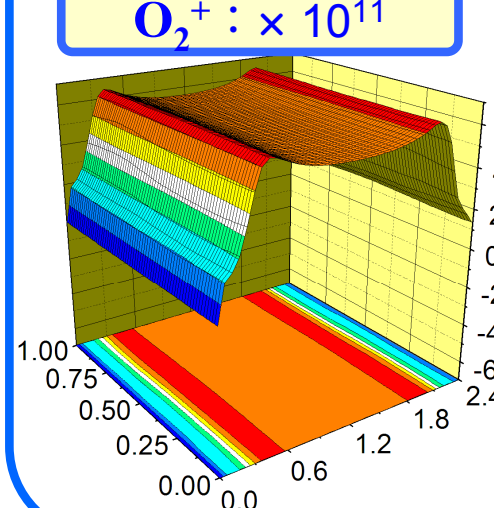
電子温度



Electron Temperature (eV)

Density (cm^{-3})

RF Cycle
Position (mm)

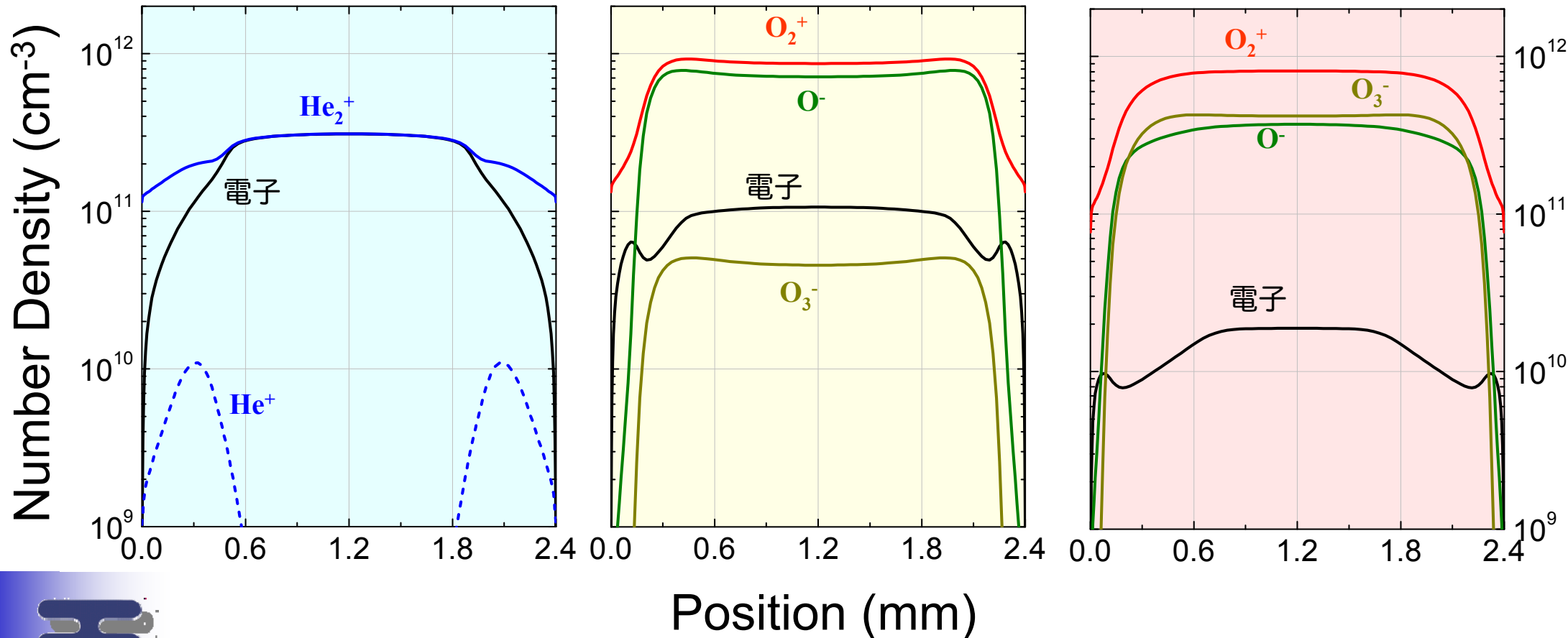


荷電粒子数密度の空間分布 (投入電力 11Wcm^{-2} 一定)

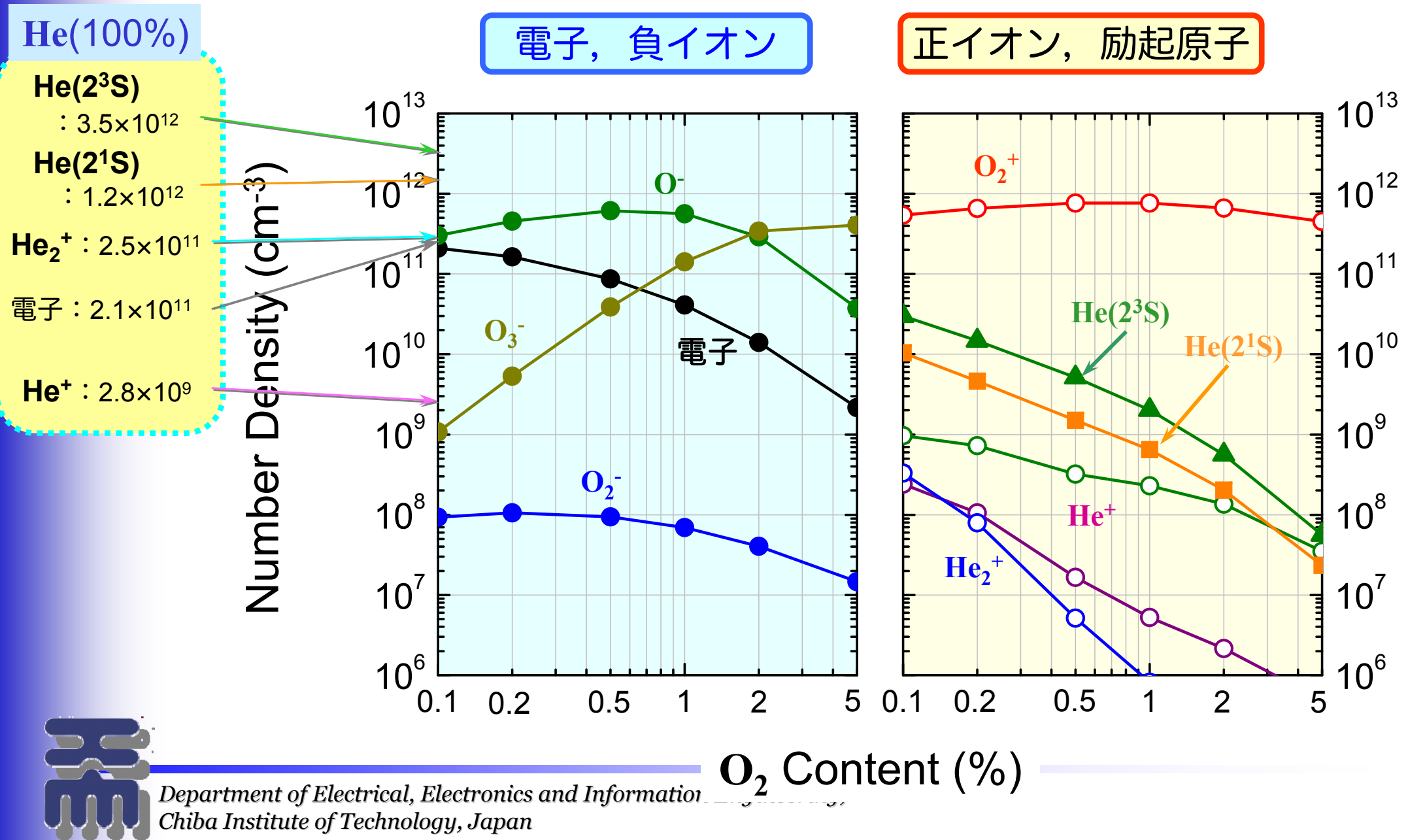
He(100%)
支配的な荷電粒子種
 \Rightarrow 電子, He_2^+

He(99.5%) / O_2 (0.5%)
支配的な荷電粒子種
 \Rightarrow 電子, O_2^+ , O^-

He(98.0%) / O_2 (2.0%)
支配的な荷電粒子種
 $\Rightarrow \text{O}_2^+, \text{O}^-, \text{O}_3^-$



荷電粒子数密度 (投入電力 11Wcm⁻²一定)



放電プラズマ中の電離過程 (投入電力 11Wcm^{-2} 一定)

◆電離レートの時間・空間平均値 \bar{R}_j ($\text{cm}^{-3}\text{s}^{-1}$)

$$\bar{R}_j = \frac{1}{T} \int_0^T \left[\frac{1}{d_G} \int_0^{d_G} R_j(z, t) dz \right] dt$$

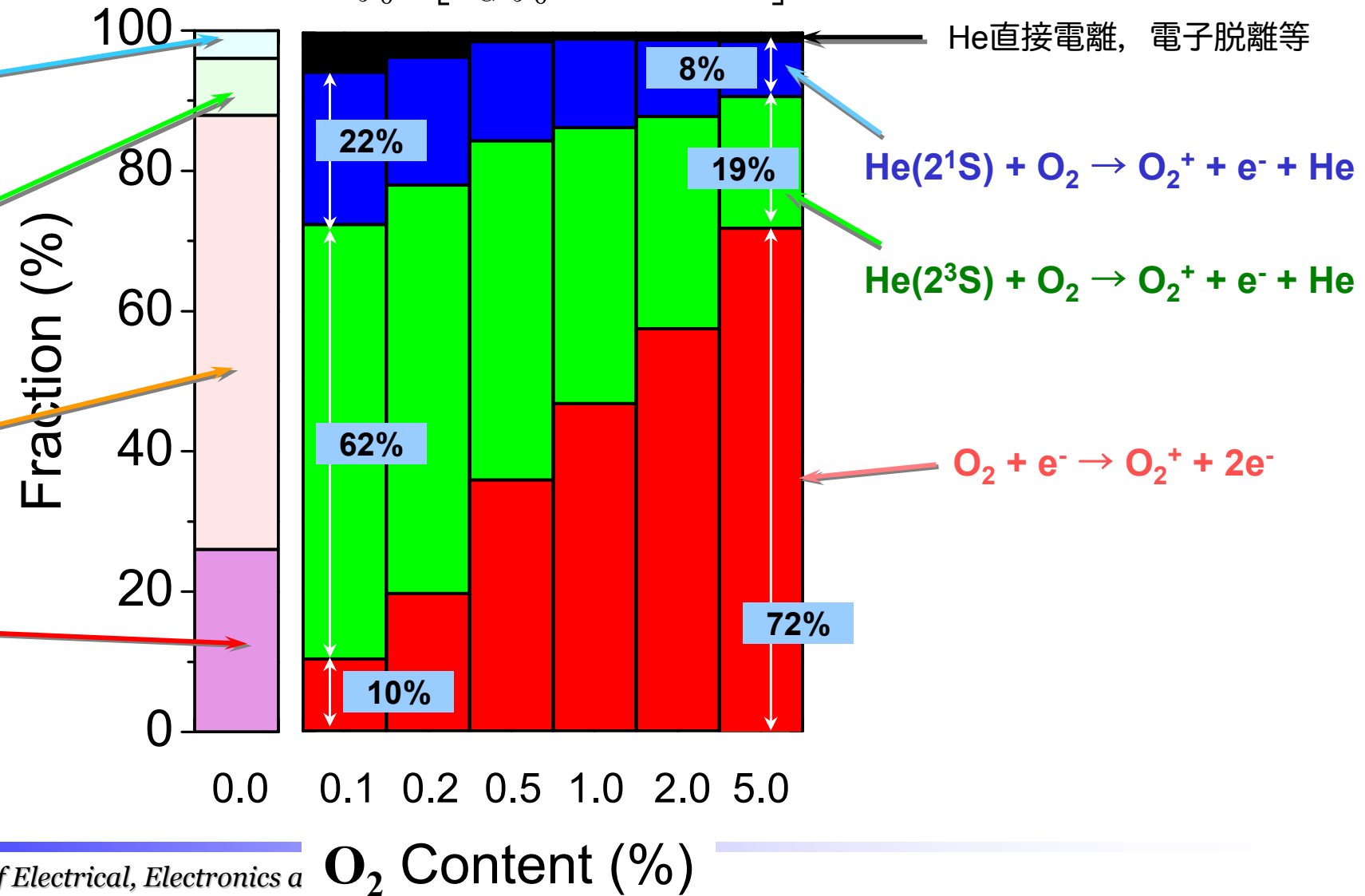
He(100%)

◆ $\text{He}(2^1\text{S}) + e^- \rightarrow \text{He}^+ + 2e^-$
4.0%

◆ $\text{He}(2^3\text{S}) + e^- \rightarrow \text{He}^+ + 2e^-$
8.2%

◆ $2\text{He}(2^3\text{S}) \rightarrow \text{He}^+ + e^- + \text{He}$
61.8%

◆ $\text{He} + e^- \rightarrow \text{He}^+ + 2e^-$
26.0%



電子エネルギーバランス (投入電力 11Wcm^{-2} 一定)

電子エネルギー保存式の各項の
空間分布 (時間平均値)

— : ジュール加熱 $\Rightarrow -\Gamma_e eE$

— : 流れの収支 $\Rightarrow -\frac{\partial q_e}{\partial z}$

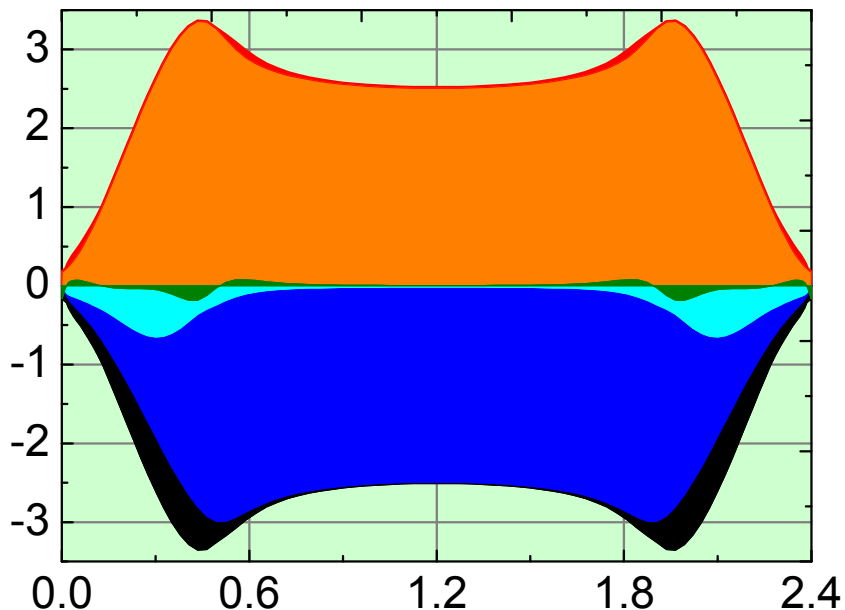
— : 弹性衝突ロス (He) $\Rightarrow -\frac{3m_e}{M_{\text{He}}} k_{\text{mom(He)}} N_{\text{He}} n_e T_e$

— : 非弹性衝突ロス (He) \Rightarrow

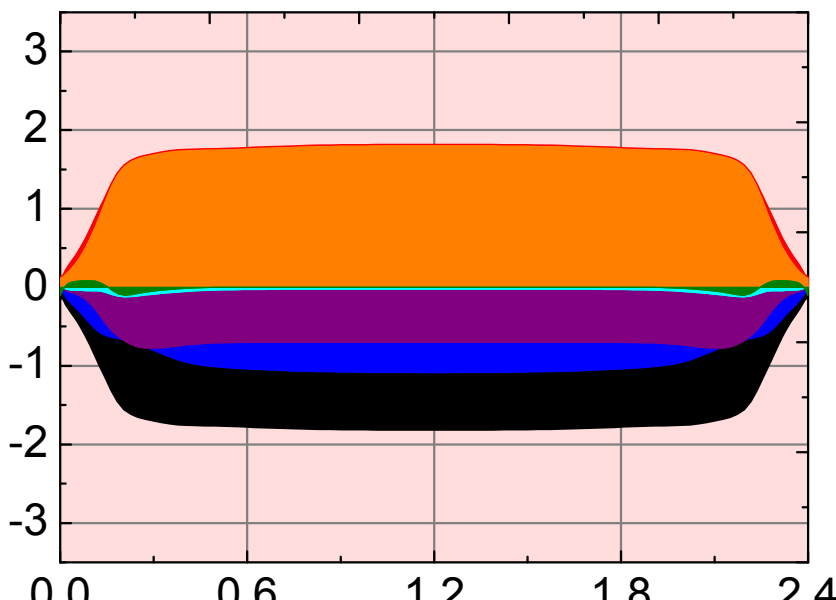
— : 非弹性衝突ロス (O_2) $\Rightarrow -\sum k_j N n_e H_j$

Energy Rate ($\times 10^{20}\text{eVcm}^{-3}\text{s}^{-1}$)

He(100%)



He(99.5%) / O_2 (0.5%)



まとめ

本講演では、酸素を含む原子分子過程を考慮したプラズマ研究として、容量結合型RF大気圧ヘリウムプラズマを例に挙げ、本プラズマ特性へ及ぼす酸素 (O_2) ガス添加の影響をシミュレーションにより解析した。

ヘリウム大気圧・高周波放電プラズマの基礎特性

- ◆電極中央部で常時、電子と He_2^+ が 10^{11} cm^{-3} のオーダーで存在し、電気的中性が保たれている。
- ◆バルク部で電子温度は約 2 eV、電界は数 kVcm^{-1} 変化する
⇒ 電流波形に 歪みが生じる。
- ◆支配的な電離過程は $He(2^3S)$ 同士によるペニング電離で、投入電力の増加に伴い直接電離の割合が増加する。

ヘリウムプラズマ特性へ及ぼす酸素 (O_2) 添加の影響

- ◆ O_2 添加に伴い、荷電粒子のバランスが大きく変化（負イオンの増加）
 - 低添加時 ($< 0.5\%$) : 電子, O^- , O_2^+
 - 高添加時 ($> 1.0\%$) : O^- , O_3^- , O_2^+
- ◆ O_2 少量添加時 ($\sim 0.2\%$) では、He (100%) 時に比べ放電維持電圧が減少する

